



ГОСУДАРСТВЕННЫЙ НАУЧНЫЙ ЦЕНТР РОССИЙСКОЙ ФЕДЕРАЦИИ

ИНСТИТУТ ФИЗИКИ ВЫСОКИХ ЭНЕРГИЙ

ИФБЭ 2002-22
ОНФ

Н.М. Агабабян¹⁾, В.В. Аммосов, М. Атаян²⁾, Н. Григорян²⁾,
Г. Гулканян²⁾, А.А. Иванилов*, Ж. Карамян²⁾, В.А. Коротков

**ВЛИЯНИЕ ЯДЕРНОЙ СРЕДЫ
НА ОБРАЗОВАНИЕ АДРОНОВ
В ГЛУБОКОНЕУПРУГОМ РАССЕЯНИИ НЕЙТРИНО**

Направлено в ЯФ

¹⁾ Объединенный институт ядерных исследований, Дубна, Россия

²⁾ Ереванский физический институт, Армения

* E-mail: ivanilov@mx.ihep.su

Протвино 2002

Аннотация

Агабабян Н.М., Аммосов В.В., Атаян М. и др. Влияние ядерной среды на образование адронов в глубоконеупругом рассеянии нейтрино: Препринт ИФВЭ 2002-22. – Протвино, 2002. – 12 с., 9 рис., 1 табл., библиогр.: 29.

С помощью пропан-фреоновой пузырьковой камеры СКАТ, облученной пучком нейтрино с энергией 3–30 ГэВ на Серпуховском ускорителе, измерены инклюзивные спектры адронов. Полученные данные свидетельствуют о том, что внутриядерное поглощение лидирующих продуктов фрагментации кварка усиливается с уменьшением переданной ему энергии и с увеличением доли z энергии кварка, приобретенной адроном. Анализ данных в рамках модели цветовой струны показывает, что положительные адроны с $0.7 < z < 0.9$ поглощаются в ядре с сечением, близким к неупругому сечению пион-нуклонного взаимодействия.

Abstract

Agababyan N., Ammosov V.V., Atayan M. et al. The Influence of the Nuclear Medium on the Production of Hadrons in Deep Inelastic Neutrino Scattering: IHEP Preprint 2002-22. – Protvino, 2002. – p. 12, figs. 9, tables 1, refs.: 29.

The inclusive spectra of hadrons produced in neutrino-nucleus scattering are measured with the help of the propane-freon bubble chamber SKAT, irradiated to the neutrino beam with energy 3-30 GeV at the Serpukhov accelerator. The date indicate, that the intranuclear absorption of the leading products of the struck quark fragmentation strengthens with decreasing quark energy and with increasing share z of the quark energy carried by the hadron. The data analysis in the framework of the colour string model shows that the absorption cross section of positive hadrons with $0.7 < z < 0.9$ is close to the inelastic pion-nucleon cross section.

Введение

Глубоконеупругое рассеяние лептона на ядре сопровождается образованием цветовой струны между выбитым夸рком и нуклонным остатком. При рассеянии на периферическом нуклоне ядра процесс фрагментации струны аналогичен ее фрагментации в случае водородной или дейтериевой мишени. При рассеянии на непериферическом нуклоне процесс фрагментации испытывает определенное влияние ядерной среды.

Согласно предсказаниям (см., например, [1–5]), средний пространственновременной промежуток l_h , необходимый для формирования адрона с массой m_h и энергией E_h , определяется лоренц-фактором ($l_h \sim E_h/m_h$). В ряде других моделей предполагается, что l_h пропорционален лоренц-фактору родительского кварка ($l_h \sim \nu/m_q^*$, ν — энергия, переданная кварку), причем масса m_q^* виртуального кварка зависит от квадрата переданного импульса Q^2 [6], либо определяется кинематикой “излучения” кварком адрона [7].

Более детальное рассмотрение процесса формирования адронов на основе Лундской фрагментационной модели [8], а также в рамках моделей, учитывающих торможение кварка вследствие либо натяжения цветовой струны [9], либо излучения глюонов [10,11], приводит к функциональным зависимостям l_h от переданной адрону доли $z = E_h/\nu$ энергии кварка, согласно которым длина формирования сравнительно энергичных продуктов фрагментации с увеличением z уменьшается и соответственно увеличивается вероятность их поглощения в ядерном веществе.

Сопоставление инклузивных спектров адронов на ядрах и дейтроне [12–16] подтверждает предсказанное ослабление эффектов ядерного поглощения с ростом ν и их усиление при $z \rightarrow 1$. Такие данные получены при сравнительно высоких ν (до 400 ГэВ), в то время как данные при промежуточных энергиях ($\nu < 10$ ГэВ) весьма скучны. Для полноты картины интересно провести детальные исследования также и в этой области энергий, где, как ожидается, влияние ядерной среды на процесс фрагментации более существенно.

Отдельный интерес представляет сопоставление спектров адронов из различных выборок событий рассеяния лептона на одном и том же ядре, а именно, в выборках с отсутствием явных признаков вторичного ядерного взаимодействия и с присутствием таких признаков (в дальнейшем — выборки квазинуклонных и каскадных событий соответственно). При этом в каскадных событиях ожидается более заметное проявление ядерных эффектов. Такое сопоставление проведено для νNe -взаимодействий при сравнительно высоких W (до ~ 25 ГэВ) [17].

Целью настоящей работы является исследование эффектов ядерного поглощения в нейтрино-ядерных взаимодействиях в области промежуточных энергий $\nu = 2\text{--}15$ ГэВ и $W = 2\text{--}5$ ГэВ. В разделе 1 описана постановка эксперимента. Методика отбора взаимодействий каскадного и квазинуклонного типов приведена в разделе 2. В разделе 3 представлено сравнение адронных спектров каскадных и квазинуклонных событий. В разделе 4 дана количественная оценка эффектов внутриядерных взаимодействий. В разделе 5 полученные данные сравниваются с предсказаниями модели цветовой струны. Основные результаты и выводы работы приведены в заключении.

1. Методика эксперимента

Эксперимент выполнен на пузырьковой камере СКАТ [18], облученной в широкополосном пучке нейтрино Серпуховского ускорителя при энергии первичных протонов 70 ГэВ. Камера была заполнена пропан-фреоновой смесью (по объему 87% пропана C_3H_8 и 13% фреона CF_3Br) с процентным содержанием ядер $H : C : F : Br = 67.9 : 26.8 : 4.0 : 1.3\%$. Плотность примеси составила $0.55 \text{ г}/\text{см}^3$, радиационная длина $X_0 = 50 \text{ см}$, длина ядерного взаимодействия 149 см. Полный объем камеры составлял 6.5 м^3 , используемый эффективный объем равен 1.73 м^3 . В рабочем объеме камеры обеспечивалось однородное магнитное поле напряженностью 20 кГс.

Отбирались события взаимодействий заряженного тока с импульсом μ^- -мезона $p_\mu > 0.5 \text{ ГэВ}/c$. Мюоном считалась отрицательно заряженная частица, обладающая наибольшим поперечным импульсом среди частиц, не претерпевших в камере вторичного взаимодействия. Остальные отрицательные частицы считались π^- -мезонами. Протоны с импульсом менее $0.6 \text{ ГэВ}/c$ и часть протонов с импульсом $0.6 < p < 0.85 \text{ ГэВ}/c$ идентифицировались по ионизационной остановке в камере. При определении энергии, переданной адронной системе, неидентифицированным положительным частицам с импульсом $p < 0.85 \text{ ГэВ}/c$ приписывалась масса протона или пиона в соответствии с предварительно оцененной относительной вероятностью. Все положительные частицы с $p > 0.85 \text{ ГэВ}/c$ считались π^+ -мезонами. Для повышения точности восстановления ν и энергии нейтрино E_ν отбирались события, в которых точность измерения импульсов всех вторичных заряженных частиц (γ -квантов) была менее 27% (100%). Каждому отобранному событию приписывался вес, учитывающий потери событий. Средний вес используемой в данной работе выборки событий равняется 1.43.

Окончательная величина ν , учитывая незарегистрированные нейтроны и γ -кванты, определялась на основе измеренной ν_{vis} при помощи соотношения $\nu = a + b\nu_{vis}$, в котором значения $a = (0.15 \pm 0.24) \text{ ГэВ}$ и $b = 1.07 \pm 0.05$ были найдены по методике, примененной в работе [19]. Близкие значения a и b получаются с помощью моделирования нейтринных взаимодействий в камере методом Монте-Карло [20].

Для дальнейшего анализа было отобрано 2223 события с $3 < E_\nu < 30 \text{ ГэВ}$, $W > 2 \text{ ГэВ}$, квадратом переданного импульса $Q^2 > 1 \text{ ГэВ}^2$ и $y = \nu/E_\nu < 0.95$.

2. Отбор квазинуклонных, каскадных и квазидейtronных событий

Отбор квазинуклонных и каскадных событий, методика которого подробно описана в [21], осуществлялся по ряду топологических и кинематических критериев. В подвыборку B_N квазинуклонных взаимодействий включались события без каких-либо признаков вторичных взаимодействий в ядре: суммарный заряд вторичных адронов равен $q = +1$

(для подвыборки B_n -взаимодействий с нейтроном) или $q = +2$ (для подвыборки B_p -взаимодействий с протоном); число зарегистрированных барионов (идентифицированных протонов и Λ -гиперонов, а также нейтронов, претерпевших вторичное взаимодействие в камере) не превышает единицы, причем среди них отсутствуют барионы, летящие назад. Кроме того, накладывалось ограничение сверху на эффективную массу мишени M_t , определяемую как $M_t = \Sigma(E_i - p_{||}^i)$, где суммирование проводится по энергиям E_i вторичных частиц и продольной компоненте $p_{||}^i$ их импульсов $M_t < 1.2 \text{ ГэВ}/c^2$. События, не удовлетворяющие вышеуказанным критериям, включались в подвыборку каскадных событий B_S . В итоге количество событий в подвыборках B_p , B_n и B_S оказалось равным соответственно 480; 555; 1188 (при этом количество взвешенных событий равно соответственно 685; 751 и 1731).

Указанному соотношению числа событий соответствует отношение сечений $\nu n-$ и $\nu p-$ взаимодействий $r = \sigma(\nu n \rightarrow \mu^- X)/\sigma(\nu p \rightarrow \mu^- X) = 1.83 \pm 0.11$, близкое известному значению $r \approx 2$ [22]. Было также проверено [21], что W -зависимости (в области $2 \leq W \leq 5 \text{ ГэВ}$) средних множественностей положительных и отрицательных адронов в подвыборках B_p и B_n удовлетворительно согласуются с данными [23] по $\nu p-$ и $\nu n-$ взаимодействиям, причем согласие имеет место как в области отрицательных, так и положительных значений переменной Фейнмана. Кроме того, было проведено сравнение инклузивных спектров адронов с имеющимися данными на водородной (дейтериевой) мишени в области $2 \leq W \leq 5 \text{ ГэВ}$. При этом наблюдалось удовлетворительное согласие между инклузивными спектрами π^- -мезонов как νp -взаимодействий [24] и подвыборки B_p , так и νD -взаимодействий [25] и комбинированной подвыборки B_D квазидейтронных событий, содержащей подвыборку B_n и 60% подвыборки B_p , которая эффективно соответствует νD -взаимодействиям (остальные 40% подвыборки B_p соответствуют взаимодействиям с водородом пропан-фреоновой смеси).

Удовлетворительное согласие множественных и инклузивных характеристик квазинуклонных подвыборок с данными по протонной (дейтериевой) мишени [22–25] позволяет заключить, что подвыборки B_p и B_n могут содержать лишь несущественную примесь событий, в которых произошло вторичное внутриядерное взаимодействие.

Ряд усредненных кинематических характеристик полной выборки и подвыборок событий приведен в таблице.

Средние характеристики глубоконеупругого рассеяния нейтрино для полной выборки и для подвыборок B_p , B_n и B_S .

Выборка	$\langle E_\nu \rangle$ ГэВ	$\langle \nu \rangle$ ГэВ	$\langle W^2 \rangle$ ГэВ ²	$\langle W \rangle$ ГэВ	$\langle Q^2 \rangle$ ГэВ ²	$\langle x \rangle$
Полная	10.8	6.5	9.5	3.0	3.6	0.30
B_p	11.0	6.6	9.8	3.0	3.5	0.29
B_n	10.9	6.5	9.3	2.9	3.9	0.33
B_S	10.7	6.5	9.5	3.0	3.5	0.29

3. Сопоставление инклузивных спектров адронов в подвыборках каскадных и квазинуклонных событий

Отношение R_{y^*} (B_S/B_N) распределений по быстроте в с.ц.м. адронной системы y^* в подвыборках B_S и B_N показано на рис. 1 для двух интервалов инвариантной энергии

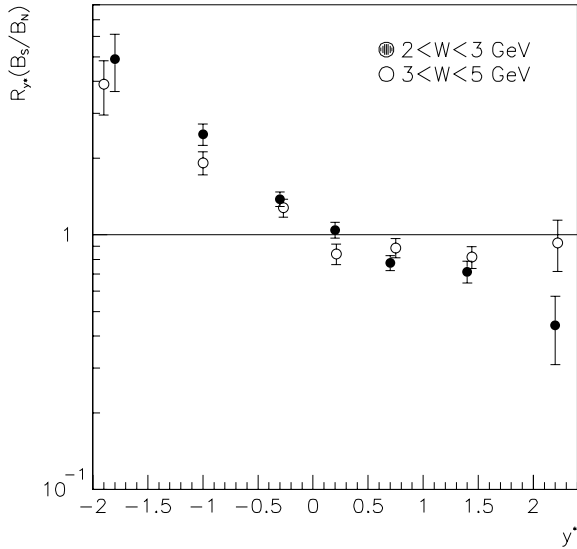


Рис. 1. Отношение распределений по быстроте y^* в подвыборках B_S и B_N для двух областей по W .

же, что с ростом W эффекты поглощения ослабляются и, согласно данным работы [17], практически исчезают при $W > 7$ ГэВ.

2 < W < 3 ГэВ и 3 < W < 5 ГэВ. Видно, что спектр адронов в подвыборке B_S смешен в сторону отрицательных y^* , что является следствием вторичных внутриядерных столкновений и сопровождающих их энергетических потерь адронов. В области фрагментации мишени ($y^* < -1$) отношение $R_{y^*}(B_S/B_N)$ достигает нескольких единиц. В области же фрагментации кварка в подвыборке B_S наблюдается давление выхода адронов, особенно сильное при малых W и достигающее значения $R_{y^*}(B_S/B_N) = 0.44 \pm 0.13$ для наиболее быстрых частиц ($y^* > 1.8$). Такое значение не противоречит результатам работы [17], в которой для отношения выходов заряженных адронов с $y^* > 2$ в каскадных и квазинуклонных подвыборках νNe -взаимодействий получено 0.6 ± 0.1 при $W = 2 \div 7$ ГэВ. Отметим также, что с ростом W эффекты поглощения ослабляются и, согласно данным работы [17], практически исчезают при $W > 7$ ГэВ.

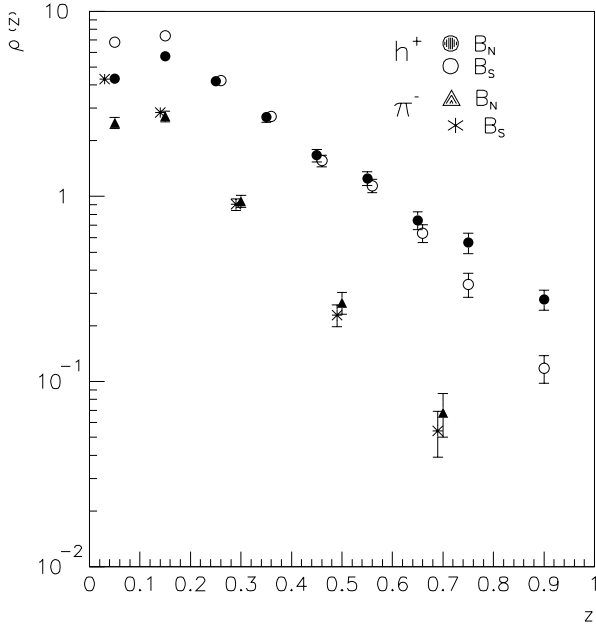


Рис. 2. Распределение по переменной z для положительных адронов и π^- -мезонов в подвыборках B_S и B_N .

На рис. 2 показаны распределения $\rho^\pm(z) = (1/N_{tot})dN^\pm/dz$ по переменной z отдельно для положительных адронов (помимо идентифицированных протонов) и π^- -мезонов в подвыборках B_S и B_N . Как видно из рисунка, вследствие энергетических потерь в

области фрагментации мишени ($y^* < -1$) отношение $R_{y^*}(B_S/B_N)$ достигает нескольких единиц. В области же фрагментации кварка в подвыборке B_S наблюдается давление выхода адронов, особенно сильное при малых W и достигающее значения $R_{y^*}(B_S/B_N) = 0.44 \pm 0.13$ для наиболее быстрых частиц ($y^* > 1.8$). Такое значение не противоречит результатам работы [17], в которой для отношения выходов заряженных адронов с $y^* > 2$ в каскадных и квазинуклонных подвыборках νNe -взаимодействий получено 0.6 ± 0.1 при $W = 2 \div 7$ ГэВ. Отметим также, что с ростом W эффекты поглощения ослабляются и, согласно данным работы [17], практически исчезают при $W > 7$ ГэВ.

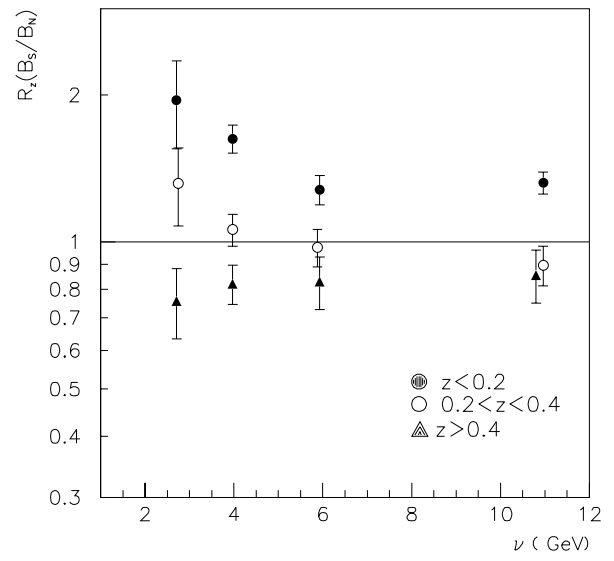


Рис. 3. ν -зависимость отношения выходов заряженных адронов в подвыборках B_S и B_N для различных интервалов по z .

ядерной среде спектры адронов в подвыборке B_S смещены в сторону малых z . Как видно из рис. 3, где представлена ν -зависимость отношения $R_z(B_S/B_N) = \rho_{B_S}^{ch}(z)/\rho_{B_N}^{ch}(z)$ функций распределения для заряженных частиц, проинтегрированных в трех областях по z : $z < 0.2$, $0.2 < z < 0.4$ и $z > 0.4$, это смещение, выражющееся в усилении выхода адронов с малыми $z < 0.2$ и ослаблении выхода при больших $z > 0.4$, проявляется заметнее при малых энергиях ν . Из рис. 2 и 3 следует, что данные при $z < 0.4$ малоинформативны при изучении эффектов ядерного поглощения, так как последние не приводят к ослаблению выхода адронов по крайней мере в области сравнительно малых $\nu < 7$ ГэВ. Более информативными представляются данные для лидирующих адронов ($z > 0.4$), показывающие, что подавление их выхода имеет место во всей области рассматриваемых ν . Данные указывают также на то, что это подавление имеет тенденцию к ослаблению с ростом ν .

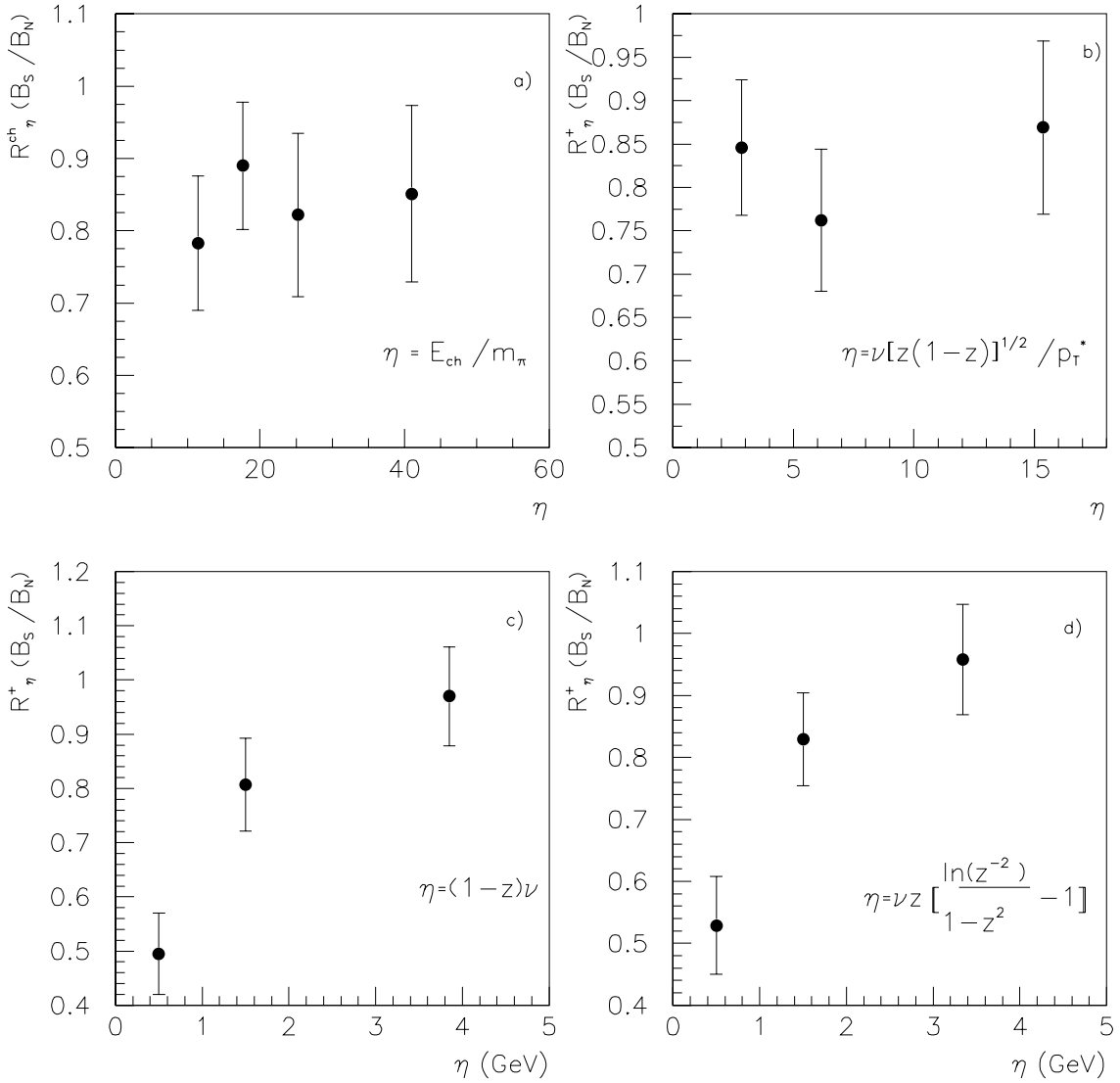


Рис. 4. Отношения выходов заряженных адронов (a) и положительных адронов (b, c, d) в подвыборках B_S и B_N в зависимости от кинематических переменных η , определенных в тексте.

Ниже мы будем рассматривать влияние ядерной среды на выход лидирующих адронов с $z > 0.4$ в зависимости от кинематических переменных (или их комбинаций), предположительно определяющих длину формирования адрона l_h . Ожидается, что экспериментально измеренное отношение $R_\eta(B_S/B_N)$ выходов адронов должно быть монотонно растущей функцией от данной кинематической переменной $\eta \sim l_h$. В противном случае теоретическое предсказание о пропорциональности $\eta \sim l_h$ не будет соответствовать экспериментальным данным по лепторождению адронов. Данные, приведенные на рис. 4, позволяют осуществить качественную проверку различных теоретических предсказаний.

Из рис. 4а следует, что, вопреки исходному предположению о линейной зависимости длины формирования l_h лидирующего адрона от E_π/m_π , степень подавленности его выхода и, следовательно, средняя длина пути, пройденного им после формирования в ядерной среде, практически не меняются в широкой области изменения этих переменных. Аналогичное заключение можно сделать из рис. 4б относительно переменной ν/m_q^* , представляющей собой лоренц-фактор кварка с эффективной массой, определяемой кинематикой распада $u \rightarrow \pi^+ d$ или $\bar{d} \rightarrow \pi^+ \bar{u}$ выбитого виртуального кварка: $m_q^* = p_T^* \sqrt{z(1-z)}$, где p_T^* — компонента импульса π^+ -мезона, перпендикулярная к направлению промежуточного бозона. Таким образом, полученные нами данные по нейтринорождению лидирующих адронов на ядрах не могут служить подтверждением для предполагаемого ослабления эффектов внутриядерного поглощения с ростом E_h или z .

Качественно иная функциональная зависимость длины формирования лидирующего адрона от кинематических переменных следует из моделей, рассматривающих пространственно-временную эволюцию цветовой струны, образованной между выбитым夸рком и нуклонным остатком [8–11]. При натягивании струны происходит торможение кварка, а его энергия ν расходуется на излучение глюонов, рождение кварк-антикварковых пар и, в конечном итоге, на множественное рождение адронов. Согласно [9–11], чем протяженнее пространственно-временной промежуток, предшествующий образованию лидирующего адрона, тем меньшей долей z энергии ν он может обладать. При достаточно больших z этот промежуток (или длина формирования адрона) пропорционален $l_h \sim \nu(1-z)$. Такая же зависимость при $z \rightarrow 1$ следует в рамках Лундской струнной модели [8]: $l_h \sim \nu z [-1 + \ln(z^{-2})/(1-z^2)]$. В обоих случаях с ростом z (для второго случая — в области $z > 0.3$) l_h монотонно убывает, следовательно, усиливается подавление выхода адрона.

Приведенная на рис. 4с и д зависимость отношения $R_\eta(B_S/B_N)$ от указанных переменных качественно подтверждает это предсказание. Как было показано в недавней работе [16], теоретические предсказания, основанные на зависимости $l_h \sim (1-z)\nu$, удовлетворительно согласуются с данными по электророждению адронов с $z > 0.2$ на ядре азота в области энергий $7 < \nu < 24$ ГэВ, в среднем заметно превышающих энергии $2 < \nu < 15$ ГэВ в настоящей работе.

4. Отношение инклузивных спектров адронов в подвыборках ядерных и квазидейtronных событий

Для получения количественных оценок, а также для сравнения с результатами других экспериментов, необходимо представить данные в виде отношения инклузивных спектров во взаимодействиях нейтрино с ядрами пропан-фреоновой смеси и с дейтроном. Выборку B_A ядерных взаимодействий можно получить путем исключения вклада событий взаи-

модействия с водородом, составляющего в нашем эксперименте примерно 40% от числа событий подвыборки B_p . Таким образом, выборку B_A можно символически представить в виде $B_A = B_S + B_N + 0.6B_p = B_S + B_D$.

Отношение инклузивных спектров в подвыборках B_A и B_D , например по переменной z , выражается как

$$R_z(B_A/B_D) = \rho_A(z)/\rho_D(z) = \frac{N_n^{tot} + 0.6N_p^{tot}}{N_S^{tot} + N_n^{tot} + 0.6N_p^{tot}} [1 + \frac{\Delta N_S^h(z)}{\Delta N_n^h(z) + 0.6\Delta N_p^h(z)}] ,$$

где N_S^{tot} , N_n^{tot} и N_p^{tot} – полные числа взвешенных событий, а $\Delta N_S^h(z)$, $\Delta N_n^h(z)$ и $\Delta N_p^h(z)$ – числа адронов с данным z в подвыборках B_S , B_n и B_p соответственно.

На рис. 5 показано отношение $R_z(B_A/B_D)$ в зависимости от z для положительных адронов (за исключением идентифицированных протонов) и для π^- -мезонов. Данные указывают на то, что ядерная среда влияет по-разному на выходы π^- -мезонов (в состав которых не может входить выбитый夸克) и положительных адронов. Если подавление выхода π^- -мезонов становится существенным при $z > 0.4$, то для положительных адронов (в основном π^+ -мезонов) оно проявляется при $z > 0.6$ и достигает $R_z(B_A/B_D) = 0.65 \pm 0.05$ при $z > 0.8$.

Выходы заряженных адронов с $z > 0.2$ из ядерных мишней по отношению к выходу на дейтериевой мишени измерены в $e^{64}Cu-$ и $e^{14}N$ -взаимодействиях [13,16], а также в $\nu(\bar{\nu})Ne$ -взаимодействиях [15] при $\langle \nu \rangle \approx 11.5$ ГэВ, что в нашем эксперименте соответствует области $\nu > 7.5$ ГэВ.

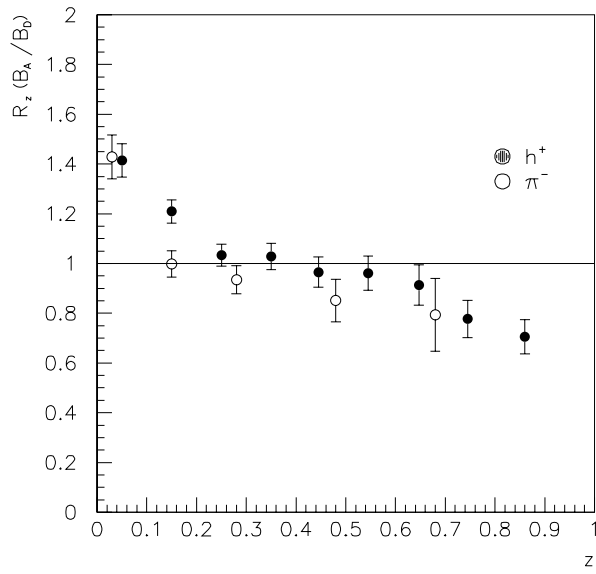


Рис. 5. Отношение выходов положительных адронов и π^- -мезонов в подвыборках B_A и B_D в зависимости от переменной z .

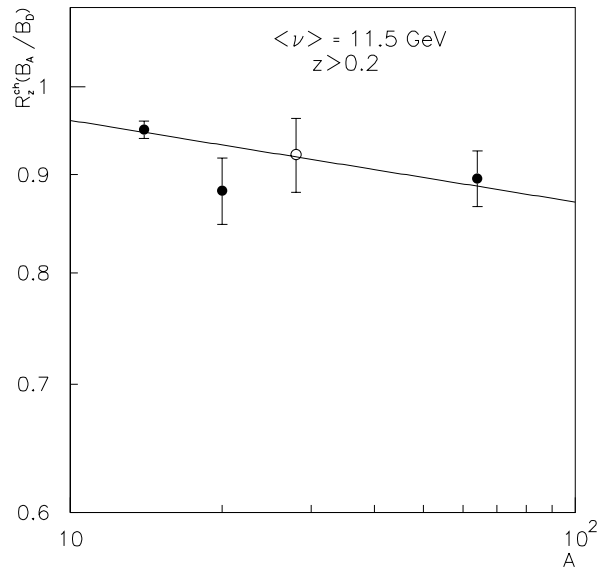


Рис. 6. A -зависимость отношения $R_z^ch(B_A/B_D)$ для заряженных адронов с $z > 0.2$ при средней энергии $\langle \nu \rangle = 11.5$ ГэВ. Чёрными кружками обозначены данные по $R_z^ch(A/D)$ из работ [13, 15, 16].

Полученное в данной работе значение $R_{z>0.2}^ch(A/D) = 0.92 \pm 0.04$, соответствующее среднему атомному весу ядра-мишени $\bar{A} = 28$, вместе с данными работ [13,15,16] представлено на рис. 6, где приведен также результат экспоненциальной аппроксимации ($\sim A^\alpha$) данных с показателем $\alpha = -0.043 \pm 0.027$. Такая слабая A -зависимость может быть обусловлена

тем, что возможное ослабление выхода адронов с $0.2 < z < 0.4$ частично компенсируется за счет энергетических потерь адронов, первоначально обладающих большими значениями z . Это приводит к тому, что интегральный выход адронов с $z > 0.2$ подавляется слабо (примерно на 10%) даже для ядра с $A = 64$.

Отмеченный эффект наглядно продемонстрирован на рис. 7, где показаны наши данные ($\bar{A} = 28$) по отношению $R_z(A/D)$ при энергиях $2 < \nu < 15$ ГэВ в сравнении с данными при более высоких энергиях $7 < \nu < 24$ ГэВ для ядра азота ($A = 14$) [16]. Хотя в первом случае ожидаются более сильные эффекты внутриядерного поглощения, отношение $R_z(A/D)$ в области $0.2 < z < 0.4$ больше, чем во втором. Заметная энергетическая и A -зависимость ослабления выхода адронов начинают проявляться в области $z > 0.6$, значительно усиливаясь для наиболее энергичных адронов с $z > 0.8$.

Зависимость от ν отношения $R_{z>0.5}^{ch}(A/D)$ для лидирующих заряженных адронов с $z > 0.5$ показана на рис. 8, где представлены наши данные при $2 < \nu < 4$ ГэВ ($\langle \nu \rangle = 3.3$ ГэВ) и $\nu > 4$ ГэВ ($\langle \nu \rangle = 7.7$ ГэВ), а также данные по $e^{14}N$ -взаимодействиям в области $\nu > 8$ ГэВ [16]. Данные указывают на то, что наблюдаемое в [16] усиление эффекта внутриядерного поглощения лидирующих адронов с уменьшением ν сохраняет тенденцию вплоть до $\nu \approx 3$ ГэВ, при которой $R_{z>0.5}^{ch}(A/D)$ достигает значения 0.84 ± 0.05 .

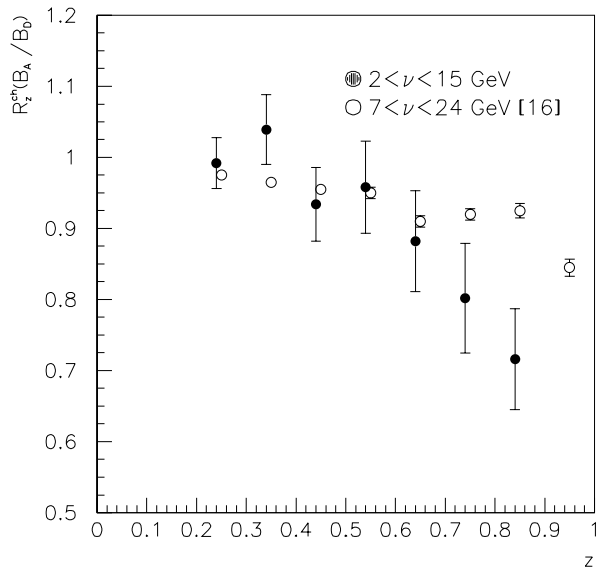


Рис. 7. Отношение выходов заряженных адронов в зависимости от z в подвыборках B_A и B_D (черные кружки) и во взаимодействиях электронов с ядрами азота идейтерия [16] (светлые кружки).

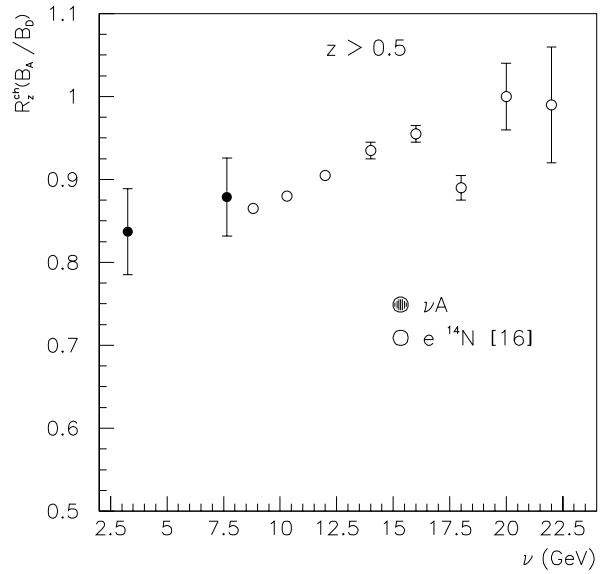


Рис. 8. ν -зависимость отношения выходов заряженных адронов с $z > 0.5$ в подвыборках B_A и B_N (черные кружки) и во взаимодействиях электронов с ядрами азота идейтерия [16] (светлые кружки).

5. Сравнение экспериментальных данных с предсказаниями модели цветовой струны

Ниже приводятся результаты сравнения измеренного отношения $R_z(A/D)$ для лидирующих положительных адронов (в состав которых с большой вероятностью входит выбитый лептоном кварк) с предсказаниями модели цветовой струны [9–11]. Согласно этой модели, при натягивании цветовой струны между нуклонным остатком и выбитым

кварком энергия ν_q последнего линейно уменьшается с увеличением длины струны l : $\nu_q = \nu - \kappa l$, где коэффициент натяжения струны κ характеризует потери энергии кварка на единицу длины. В приближении, не учитывающем излучение кварком глюонов, $\kappa \approx 1$ ГэВ/Фм [26,27], в то время как при учете излучения эффективное значение κ определяется выражением [10] $\kappa = 8\alpha_s(Q^2)Q^2/9\pi \approx 1.8$ ГэВ/Фм при $\langle Q^2 \rangle = 3.6$ (ГэВ/c)² и $\alpha_s = 0.35$ [28]. Если разрыв струны, приводящий к образованию лидирующей $q\bar{q}$ -пары (в данном случае – в основном $u\bar{d}$ -пары), происходит при $l = l_h$, то ее энергия, т.е. энергия конечного лидирующего адрона (в данном случае – в основном π^+ -мезона), приблизительно равна $E_h \approx \nu_q = \nu - \kappa l_h$, с $l_h = \nu(1 - z)/\kappa$.

Непосредственно после образования $q\bar{q}$ -пары ее средний поперечный размер может быть меньше, чем радиус пиона, вследствие чего цветовой заряд кварков частично экранируется, и $q\bar{q}$ -пара взаимодействует в ядре с эффективным сечением σ_h , меньшим, чем сечение неупругого πN -взаимодействия $\sigma_{\pi N}^{in} \approx 20$ мбн. Согласно теоретическим предсказаниям [10,11], эффективное сечение σ_h (усредненное вдоль траектории $q\bar{q}$ -пары в ядре) тем меньше, чем больше ν , становясь $\sigma_h \ll \sigma_{\pi N}^{in}$ при $\nu \gg 5$ ГэВ. При энергиях же $\nu \leq 5$ ГэВ эффект цветовой экранировки ожидается несущественным. Если взаимодействие нейтрино произошло с нуклоном с поперечными \vec{b} и продольной ξ координатами относительно центра ядра, а лидирующая $u\bar{d}$ -пара образовалась в точке $(\vec{b}, \xi + l_h)$, где $l_h = \nu(1 - z)/\kappa$, то ослабление выхода π^+ -мезона с долей z начальной энергии кварка равно

$$S_z^A(\vec{b}, \xi) = \exp(-\sigma_h \int_{\xi+l_h}^{\infty} \rho_A(\vec{b}, \xi') d\xi') ,$$

где $\rho_A(\vec{r})$ — распределение ядерной плотности, для которого в расчетах использовалась параметризация Вудса-Саксона

$$\rho_A(\vec{r}) = \frac{\rho_0}{1 + \exp(\frac{|\vec{r}| - r_A}{a})}$$

с параметрами, извлеченными из данных по eA -рассеянию [29]: $r_A = (1.16A^{1/3} - 1.35A^{-1/3})$ Фм и $a = 0.54$ Фм. Параметр ρ_0 определяется из условия нормировки и равен для ядер C, F, Br соответственно $\rho_0 = 0.193, 0.186$ и 0.163 Фм⁻³.

Для каждого ядра пропан-фреоновой смеси и каждого интервала кинематической переменной $z = E_h/\nu$ выражение для $S_z^A(\vec{b}, \xi)$ усреднялось по координатам (\vec{b}, ξ) , а также по комбинации кинематических переменных $\nu(1 - z)$, для чего использовалось экспериментальное распределение последней в подвыборке B_D . Рассчитанные таким образом средние значения $\langle R_z^A \rangle$ усреднялись по ядрам мишени, и полученная теоретическая величина $\langle R_z \rangle$ сравнивалась с экспериментально измеренным отношением $R_z(B_A/B_D)$.

Расчеты проводились при двух значениях параметра $\kappa = 1.0$ и 1.8 ГэВ/Фм. Параметр σ_h подгонялся для достижения наилучшего описания данных в области больших $z = 0.7 \div 0.9$. Область $z < 0.7$ не включалась в процедуру подгонки, так как в расчетах не учитывалась частичная компенсация ослабления выхода адронов за счет вторичных взаимодействий более энергичных частиц.

В результате подгонки было получено $\sigma_h = 19_{-4.5}^{+6}$ мбн при $\kappa = 1$ ГэВ/Фм и $\sigma_h = 15.5_{-3.8}^{+4.6}$ мбн при $\kappa = 1.8$ ГэВ/Фм. Расчетные кривые при этих значениях параметров сравниваются с экспериментальными данными на рис. 9. Видно хорошее согласие при $0.7 < z < 0.9$ как для всей области по $\nu = 2 \div 15$ ГэВ ($\langle \nu \rangle = 6.5$ ГэВ), так и для областей малых $\nu = 2 \div 5$ ГэВ ($\langle \nu \rangle = 3.8$ ГэВ) и промежуточных $\nu = 5 \div 15$ ГэВ ($\langle \nu \rangle = 8.6$ ГэВ) энергий. Следует отметить, что несколько меньшая подавленность выхода

наиболее быстрых адронов при $\nu > 5$ ГэВ по сравнению с областью $\nu < 5$ ГэВ (рис. 9b и c) объясняется не уменьшением эффективного сечения σ_h с ростом ν , а увеличением средней длины формирования $l_h \sim \nu(1 - z)$. По этой же причине при $\nu > 5$ ГэВ наиболее быстрые адроны взаимодействуют в ядре с меньшей вероятностью, тем самым привнося сравнительно меньший вклад в область $z < 0.7$. Этим, по-видимому, и обусловлено удовлетворительное описание данных в области $0.4 < z < 0.7$ при $\nu > 5$ ГэВ и $\xi = 1$ ГэВ/Фм (рис. 9c).

Несколько хуже описание при $\xi = 1.8$ ГэВ/Фм, что может служить указанием на то, что в области промежуточных энергий, рассматриваемых в данной работе, механизм излучения глюонов не играет существенной роли в процессе лепторождения адронов и, следовательно, извлеченная при $\xi = 1$ ГэВ/Фм оценка сечения σ_h более предпочтительна. Тем не менее, мы учли возможную неопределенность в параметре $\xi = (1.4 \pm 0.4)$ ГэВ/Фм и, как следствие, в сечении $\sigma_h = (18.1 \pm 6.4)$ мбн, где приведенная ошибка включает в себя и статистические погрешности. В пределах ошибок σ_h не отличается от $\sigma_{\pi N}^{in}$. Поэтому можно заключить, что лидирующая $q\bar{q}$ -пара приобретает свойства сформировавшегося адрона за достаточно короткий пространственно-временной промежуток, сопоставимый с межнуклонными расстояниями в ядре.

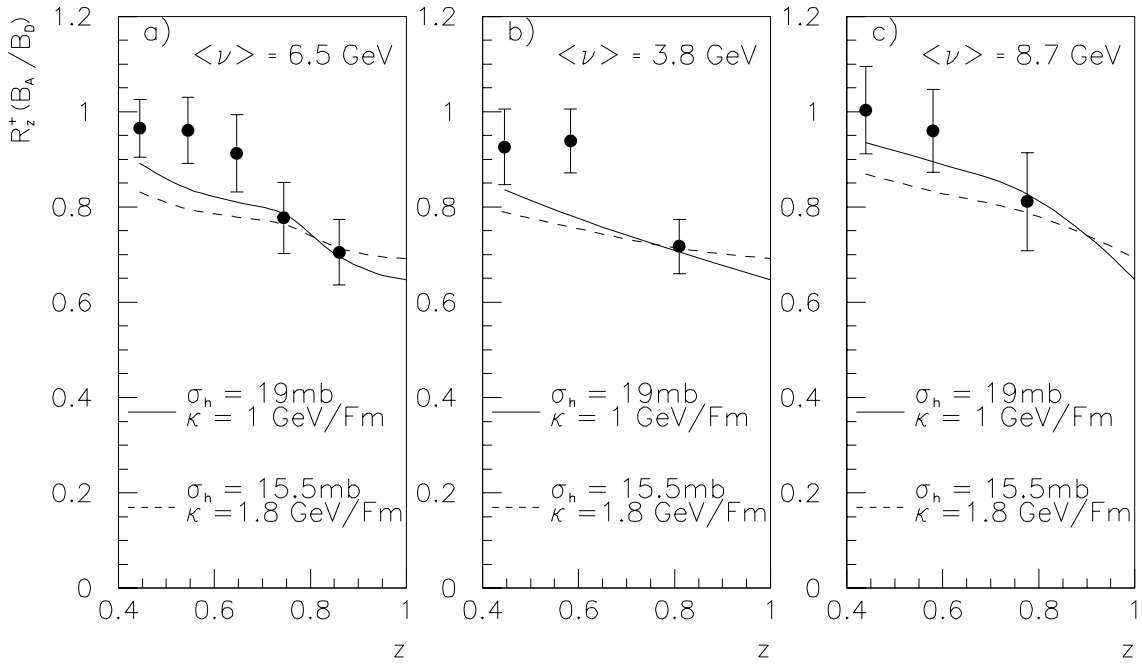


Рис. 9. Сравнение данных по отношению $R_z^+(B_A/B_D)$ для положительных адронов с предсказаниями модели цветовой струны (сплошные и пунктирные кривые) при: a) $2 < \nu < 15$ ГэВ, b) $2 < \nu < 5$ ГэВ, c) $5 < \nu < 15$ ГэВ.

Заключение

Получены новые экспериментальные данные по нейтринорождению адронов на ядрах в области промежуточных энергий $2 < W < 5$ ГэВ и $2 < \nu < 15$ ГэВ. Примененная в работе методика позволяет выделять подвыборку квазинуклонных (квазидейtronных)

событий, характеристики которых соответствуют имеющимся данным, полученным на водородной (дейтериевой) мишени, а также подвыборку каскадных событий с признаком вторичного взаимодействия в ядре.

Сопоставление инклузивных спектров адронов в этих подвыборках указывает на подавление выхода наиболее быстрых продуктов фрагментации, проявляющееся сильнее с уменьшением W или ν . Показано, что величина подавления выхода лидирующих адронов с $z > 0.4$ (и, следовательно, длина их формирования) не находится в прямой зависимости от их энергии, а зависит от комбинации кинематических величин $(1-z)\nu$ в соответствии с предсказаниями модели цветовой струны. С целью сравнения с предсказаниями этой модели, а также с другими экспериментальными данными результаты измерений представлены в виде, адекватном отношению $R_z(B_A/B_D)$ инклузивных спектров по переменной z в $\nu A -$ и $\nu D -$ взаимодействиях. Показано, что извлеченной величине $R_z(B_A/B_D)$ для наиболее быстрых адронов с $z = 0.7 \div 0.9$ соответствует эффективное сечение их поглощения в ядерном веществе $\sigma_h \approx (18 \pm 6)$ мбн, близкое к сечению неупругого пион-нуклонного взаимодействия. Такое сечение указывает на то, что предадронное $q\bar{q}$ -состояние приобретает свойства сформировавшегося пиона за пространственно-временной промежуток, сопоставимый с межнуклонными расстояниями в ядре. Получено также указание на то, что излучение глюонов выбитым夸рком не играет существенной роли в эволюции цветовой струны при сравнительно невысоких $< Q^2 > \approx 3.6$ ($\text{ГэВ}/c$) 2 и $< \nu > \approx 6.5$ ГэВ, рассмотренных в данной работе.

Список литературы

- [1] Л.Ландау, И.Померанчук. Докл. АН СССР **95**, 535, 1953.
- [2] В.Н.Грибов. // ЯФ **9**, 640, 1965.
- [3] K.Gottfried. // Phys.Rev.Lett. **32**, 957, 1974.
- [4] F.E.Low, K.Gottfried. // Phys.Rev. D **17**, 2487, 1978.
- [5] Н.Н.Николаев. // УФН **134**, 370, 1981.
- [6] A.Bialas, T.Chmaj. // Phys. Lett. B **133**, 241, 1983.
- [7] E.L.Berger. // Z. Phys. C **4**, 289, 1980.
- [8] A.Bialas, M.Gyulassy. // Nucl. Phys. B **133**, 793, 1987.
- [9] B.Z.Kopeliovich. // Phys. Lett. B **243**, 141, 1990.
- [10] B.Z.Kopeliovich, J.Nemchic. – JINR preprint E2-91-150, 1991.
- [11] B.Z.Kopeliovich, J.Nemchic, E.Predazzi. – In: Proceed. of the Workshop on Future Physics at HERA, nucl-th/9607036, DESY, 1996.
- [12] L.S.Osborne et al. // Phys. Rev. Lett. **40**, 1624, 1978.
- [13] J.Ashman et al. // Z. Phys. C **52**, 1, 1991.
- [14] M.R.Adams et al. // Z. Phys. C **70**, 47, 1996.

- [15] W.Burkot et al. // Z.Phys. C **70**, 47, 1996.
- [16] A.Airapetian et al. // Eur. Phys. J. C **20**, 479, 2001.
- [17] Е.С.Ватага и др. // ЯФ **63**, 1660, 2000.
- [18] В.В.Аммосов и др. // ЭЧАЯ **23**, 648, 1992.
- [19] А.Э.Асрятян и др. // ЯФ **41**, 1193, 1985.
- [20] Н.Агабабян и др. – Препринт ЕрФИ-1539(9), 1999.
- [21] Н.Агабабян и др. – Препринт ЕрФИ-1578(3), 2002.
- [22] D.Zieminska et al. // Phys. Rev. D **27**, 47, 1983.
- [23] J.Brunner et al. // Z. Phys. C **45**, 361, 1989.
- [24] P.Allen et al. // Nucl. Phys. B **214**, 369, 1983.
- [25] D.Allasia et al. // Z. Phys. C **24**, 119, 1984.
- [26] A.Casher, H.Neuberger, S.Nussinov. // Phys. Rev. D **20**, 179, 1979.
- [27] E.G.Gurvich. // Phys. Lett. **87B**, 386, 1979.
- [28] Review of Particle Physics. // Eur. Phys. J. **3**, 87, 1998.
- [29] H.De Vries, C.W.De Jager, C.De Vries. At. Data Nucl. Data Tables **36**, 495, 1987.

Рукопись поступила 11 июня 2002 года.

Н.М. Агабабян, В.В. Аммосов, М. Атаян и др.

Влияние ядерной среды на образование адронов в глубоконеупругом рассеянии нейтрин.

Оригинал-макет подготовлен с помощью системы L^AT_EX.

Редактор Н.В. Ежела

Технический редактор Н.В. Орлова

Подписано к печати 17.06.2002. Формат 60 × 84/8. Офсетная печать.
Печ.л. 1,5. Уч.-изд.л. 1,2. Тираж 130. Заказ 106. Индекс 3649.
ЛР №020498 17.04.97.

ГНЦ РФ Институт физики высоких энергий
142284, Протвино Московской обл.

Индекс 3649

ПРЕПРИНТ 2002-22, ИФВЭ, 2002
